

国鉄・鐵道技術研究所 正員口涌井 一

1. まえがき 磁気浮上鉄道のガイドウェイとして逆T型断面の採用が検討されているが、従来の鉄道構造物とは断面形状が著しく異なることから、引張実線の有効巾等設計に際し不明な点も多いため、断面寸法及び支間が実物の1/2の模型供試体を製作し、破壊を含む静的載荷実験を行なって桁の力学的性状を調べた。

2. 供試体 断面形状を図-2.1に示す。支間は5.2mである。

供試体は3体(N0.1, 2, 3)製作した。図に示すように、いずれもPC構造で、支間方向には12φ5のフレシネケーブルを6本配置し、直角方向には突起部及びスラブに約45cmピッチでφ18のPC鋼棒を配し、それぞれ繰りめ、横縛めを行なった。N0.3のみPC鋼棒のグラウトを行なわないアンボンド工法を採用した。

3. 設計荷重以下での試験 3つの供試体に、支間中央において垂直力、水平力及びその組合せ荷重を設計荷重の範囲内で載荷し、たわみとひずみを測定したところ、ほぼ同様な結果を得た。ここではN0.1に限定して両側集中載荷の結果を図-3.1に示す。この載荷方法は接地走行時の輪重による荷重に相当する。ただし荷

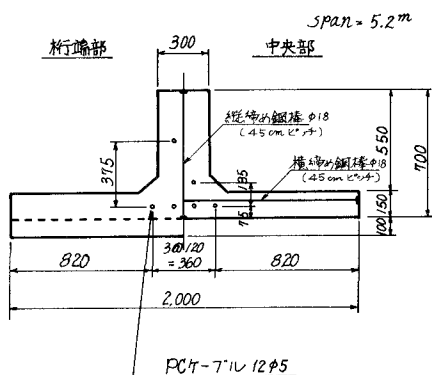


図-2.1 断面形状

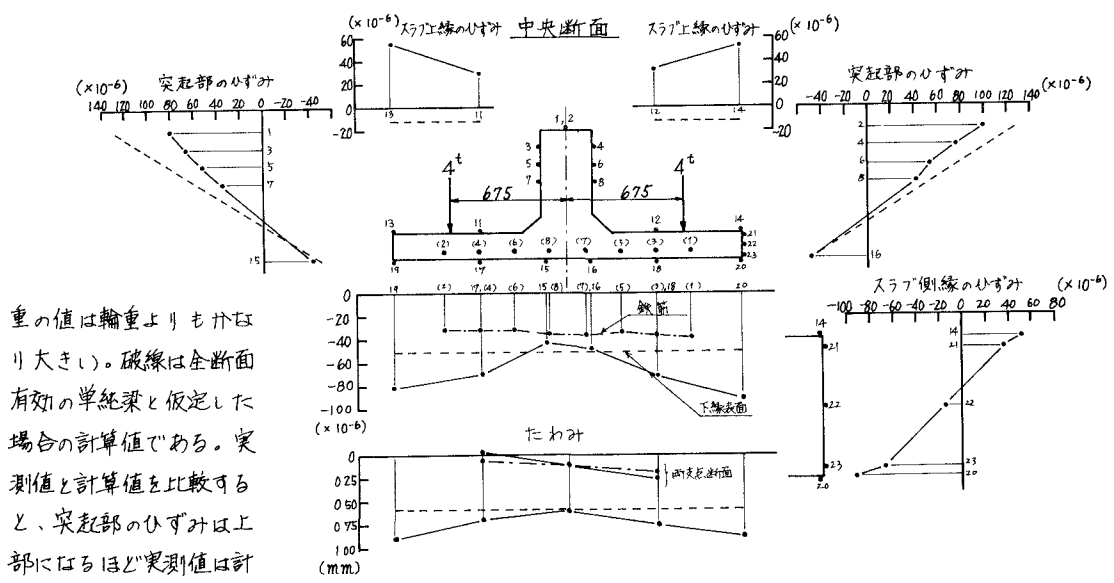


図-3.1 両側集中載荷時のたわみとひずみ

は断面中央ではほぼ一致しているが、中央から離れるに従いスラブの局部的曲げひずみが顕著となるために実測値は計算値より大きくなら傾向を示す。又スラブ上線は単純梁のフランジとしては引張領域であるが、実際には圧縮ひずみを生じている。鉄筋のひずみを観察すると、断面全体にわたり一様な分布をしている。これもスラブ

の局部的曲げひずみが加ったせいで、もし荷重が断面中央に作用するならば、ひずみは中央から離れるにつれて漸減するであろう。スラブ側縁の測点、22のひずみは約15 μ である。これはスラブの局部的曲げひずみとは無関係な梁のフランジとしてのひずみを表わすものと考えられる。従って、梁のフランジ作用によると下縁ひずみは断面中央で40 μ であったものが、側端では15 μ に減少することになる。この分布が直線的であると仮定して有効中を計算すると3.3 m となった。全幅(4.4 m)との比は0.75となった。

4. 破壊試験

N.O.1 図-3.1と同じ両側集中載荷状態で荷重を左右同時に漸増し破壊させた。図-4.1にひびわれ発生状況を示す。中央断面下縁のひびわれはひずみゲージによる観測によると10~13 τ (片側荷重、以下も同様)でスラブ側端に生じ、その後断面中央に進行した。スラブ上縁のひびわれは、まだ支間中央のハンチの付け根に生じ、その後図のように進行した。最後は載荷点の押し抜きせん断により破壊した。そのときの荷重は約30.8 t であった。図-4.2にたわみ分布の変化を、図-4.3に支間方向下鉄筋のひずみと荷重との関係を、又図-4.4に直角方向上鉄筋のハンチ付近のひずみと荷重との関係をそれぞれ示す。さらに図-4.5に突起部の表面ひずみ分布の変化を示す。

・スラブの破壊が進行するに伴い中立軸が上昇する様子が観察される。スラブが

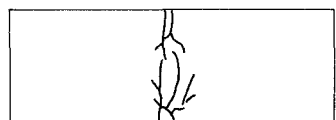
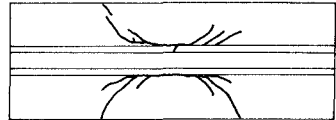


図-4.1 ひびわれ図

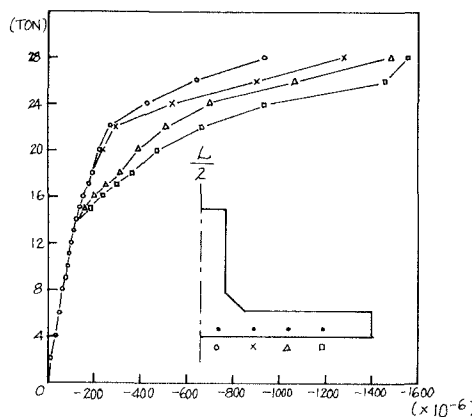


図-4.3 鉄筋ひずみ-荷重曲線(1)

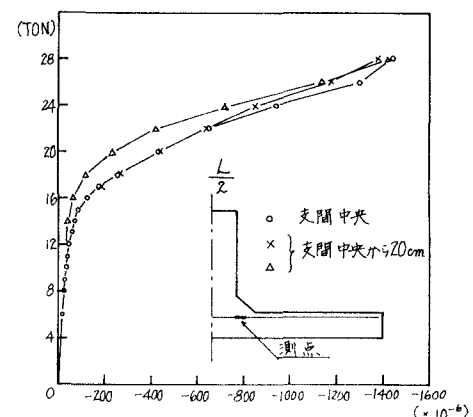


図-4.4 鉄筋ひずみ-荷重曲線(2)

破壊状態に達してもハンチより上の突起部にはひびわれは観察されなかつた。このように入り突起部の破壊強度がバ

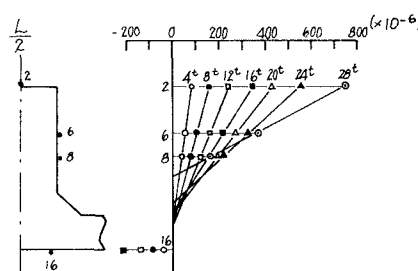


図-4.5 突起部のひずみ分布

ラシスしていることは、経済設計の観点から望ましいことではない。突起部の中抜きをすることで経済性を高める必要がある。

結論 弾性範囲では引張突縁の有効中が実測された。破壊性状から桁の経済性をさらに高めるための有益な唆が得られた。

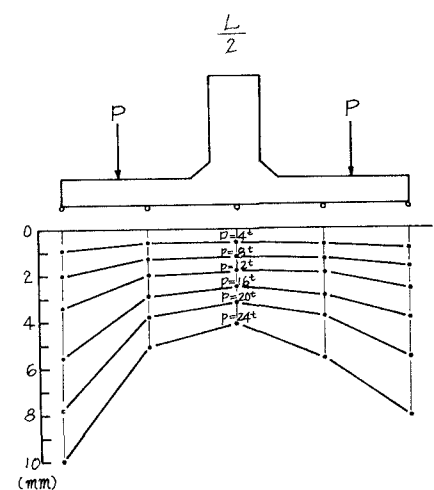


図-4.2 たわみ分布